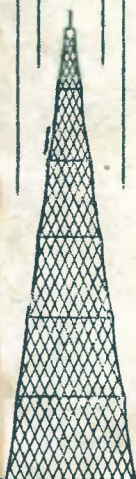


МАССОВАЯ
РАДИО
БИБЛИОТЕКА

В. М. БОЛЬШОВ

ЭЛЕКТРОННЫЕ РЕЛЕ ВРЕМЕНИ



ГОСЭНЕРГОИЗДАТ

В. М. БОЛЬШОВ .

ЭЛЕКТРОННЫЕ РЕЛЕ ВРЕМЕНИ



ГОСУДАРСТВЕННОЕ ЭНЕРГЕТИЧЕСКОЕ ИЗДАТЕЛЬСТВО
МОСКВА 1958 ЛЕНИНГРАД

Берг А. И., Бурдейный Ф. И., Бурлянд В. А., Вансов В. И.,
Геништа Е. Н., Джигит И. С., Канава А. М., Кренкель Э. Т.,
Куликовский А. А., Смирнов А. Д., Тарасов Ф. И., Шамшур В. И.

В брошюре излагаются принципы работы электронных реле времени и их расчет, приводятся краткое описание практических схем реле времени различной сложности.

Брошюра рассчитана на широкий круг радиолюбителей и радиоспециалистов, работающих по внедрению электроники в народное хозяйство.

Большов Владимир Михайлович
ЭЛЕКТРОННЫЕ РЕЛЕ ВРЕМЕНИ

Редактор Ф. И. Тарасов

Технич. редактор Н. И. Борюнов

Сдано в набор 19/IV 1958 г.

Т-33994.

Бумага 84x108/16.

Тираж 65 000 экз.

2,46 печ. л.

Цена 1 р. 10 к.

Подписано к печати 4/VII 1958 г.

Уч.-изд. л. 2,7

Заказ 1262

Типография Госэнергоиздата, Москва, Шлюзовая наб., 10

ВВЕДЕНИЕ

В творчестве радиолюбителей-конструкторов за последние годы видное место занимает автоматизация производственных процессов, конструирование различных электронных приборов для автоматического управления и контроля. Это вызвано тем, что автоматизация позволяет существенным образом улучшить ряд технологических процессов, особенно там, где производство связано с большой затратой физического труда или требуется высокая скорость и точность действия механизмов.

Одним из важных элементов автоматики является реле времени—устройство, позволяющее на определенный, наперед заданный отрезок времени включать или выключать какую-либо установку. Реле времени может входить составным элементом в различные системы автоматики, а также использоваться как самостоятельный прибор.

Особый интерес представляют управляемые реле времени, т. е. реле, время выдержки которых зависит от какого-либо параметра протекающего процесса. Примером такого реле времени может служить автоматический фотоэкспозометр. Время выдержки этого прибора устанавливается автоматически в зависимости от освещенности фотобумаги.

В современной технике используются самые разнообразные реле времени, отличающиеся как по назначению, так и по принципу действия. По последнему признаку все реле времени можно разделить на пневматические, тепловые, электромеханические и электронные. Последняя группа получила наибольшее распространение в силу ряда достоинств, важнейшими из которых являются отсутствие движущихся частей, высокая точность отсчета времени, большой диапазон выдержек и широкие возможности регулировки. Работа электронных реле времени основана на использовании инерционности заряда или разряда конденсатора через сопротивление, причем постоянная времени цепи заряда (или разряда) и определяет время выдержки.

Электронные реле времени можно разделить на две основные группы: реле времени с газоразрядными приборами и реле времени на электронных лампах и ионных приборах. В реле времени первой группы основным элементом является газоразрядный прибор (стабилитрон, неоновая лампа, газонаполненный разрядник) и используется только процесс заряда конденсатора через сопротивление. В реле времени на электронных лампах и ионных приборах используется как заряд, так и разряд предварительно заряженного конденсатора.

Основными параметрами, характеризующими любое реле времени, являются диапазон выдержек, стабильность работы и потребляемая мощность.

Электронные реле времени имеют диапазон выдержек от сотых долей секунды до 10—20 мин при достаточной точности отсчета интервалов времени. В сочетании с электромеханическими устройствами, например шаговыми искателями, этот диапазон может быть расширен в сторону больших выдержек и составлять несколько дней и даже месяцев.

Стабильность (способность реле времени сохранять неизменной установленную выдержку при изменении питающих напряжений) оценивается величиной относительного изменения выдержки $\Delta T/T$, где ΔT —изменение, а T —время выдержки при изменении напряжения питания в заданных пределах. Величина $\Delta T/T$ может иметь как положительное, так и отрицательное значение. Знак минус показывает, что изменение выдержки противоположно изменению напряжения питания, т. е. если напряжение питания увеличивается, то выдержка уменьшается, и наоборот. При положительном знаке $\Delta T/T$ повышение напряжения питания увеличивает, а понижение уменьшает время выдержки. Следует отметить, что, применяя стабилизацию источников питания, а также различные стабилизирующие меры, выдержку можно сделать практически независимой от напряжения питания.

Немалое значение имеет также мощность, потребляемая реле времени от источников питания. Наиболее экономичны реле времени, потребляющие энергию только во время выдержки. К ним относятся большинство реле времени с газоразрядными приборами и часть реле времени с электронными лампами.

РЕЛЕ ВРЕМЕНИ С ГАЗОРАЗРЯДНЫМИ ПРИБОРАМИ

ПРИНЦИП ДЕЙСТВИЯ РЕЛЕ ВРЕМЕНИ

Реле времени, выполненные на газоразрядных приборах, получили среди радиолюбителей самое широкое распространение. К достоинствам таких реле времени относится отсутствие ламп, требующих энергии на нагрев нити накала, что значительно повышает экономичность устройства и упрощает его эксплуатацию. Такие реле времени готовы к работе сразу же после включения. Они могут быть изготовлены из типовых и простых деталей и материалов, доступных каждому радиолюбителю-конструктору.

Недостатками реле времени на газоразрядных приборах являются низкая стабильность (без применения специальных мер), а также необходимость применения чувствительного электромеханического реле и зарядного конденсатора большой емкости. Емкость конденсатора должна быть тем больше, чем грубее реле и чем меньше разность между потенциалами зажигания и погасания газоразрядного прибора.

Рассмотрим действие схемы реле времени на двухэлектродном газоразрядном приборе (рис. 1).

Для того чтобы реле времени начало отсчет времени, необходимо замкнуть его пусковой контакт K (кнопка, выключатель). При этом от источника питания B через сопротивление R потечет ток заряда конденсатора C .

Напряжение на конденсаторе C возрастает по закону

$$u_c = U_0 \left(1 - e^{-\frac{t}{RC}} \right),$$

где u_c — мгновенное значение напряжения на конденсаторе, v ;

U_0 — напряжение источника питания, v ;

e — 2,73;

t — время заряда, $сек$;

R — зарядное сопротивление, Мом ;
 C — емкость конденсатора, мкф .

Когда напряжение на конденсаторе будет равно потенциалу зажигания газоразрядного прибора, последний становится проводящим и конденсатор C начнет разряжаться через газоразрядный прибор L и обмотку электромагнитного реле P . Если время разряда конденсатора больше времени срабатывания реле, то якорь последнего притянется и контакты 1 и 2 замкнут (или разомкнут) нужную цепь. Время между замыканием пускового контакта и срабатыванием реле и есть время выдержки.

Напряжение на конденсаторе начнет быстро уменьшаться, и разряд прекратится, когда оно станет равным потенциалу погасания газоразрядного прибора. График зависимости напряжения на конденсаторе от времени заряда и разряда приведен на рис. 2.

Скорость нарастания напряжения на конденсаторе (при постоянном U_0) определяется произведением RC . Это произведение называется постоянной времени данной цепи и обозначается буквой τ . Если величину сопротивления R выразить в мегомах, а емкость конденсатора C — в микрофарадах, то τ выразится в секундах.

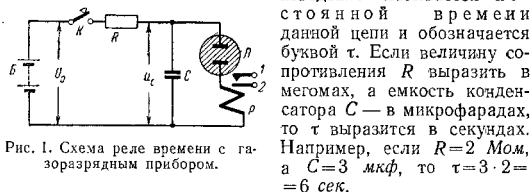


Рис. 1. Схема реле времени с газоразрядным прибором.

Процессы заряда и разряда конденсатора через сопротивление рассматриваются обычно в зависимости от постоянной времени цепи. Так, например, заряд конденсатора до напряжения источника питания происходит за время, равное 4,6 τ . Потенциал зажигания U_z газоразрядного прибора выбирается ниже напряжения U_0 источника питания, поэтому и время заряда конденсатора до напряжения зажигания, т. е. время выдержки T , будет меньше времени, равного 4,6 τ . Это время можно определить по формуле

$$T = RC \ln \frac{U_0}{U_0 - U_z} = RC \ln \frac{1}{1 - \frac{U_z}{U_0}}, \quad (1)$$

где k — коэффициент срабатывания, равный отношению U_z/U_0 .

Напряжение, при котором происходит срабатывание реле (в данном случае оно равно U_z), называется напряжением реагирования.

Время выдержки прямо пропорционально величине RC . Увеличение RC вдвое вызывает такое же увеличение выдержки. Если время выдержки изменять при помощи потенциометра с линейной зависимостью сопротивления от угла поворота, то получается линейная шкала выдержек. При постоянном RC время выдержки зависит также от коэффициента k . Чем больше k , тем выдержка меньше. Физически это означает, что конденсатор заряжается до меньшего напряжения.

Изменение выдержки осуществляется обычно двумя способами: изменением зарядного сопротивления и изменением зарядного напряжения. Второй способ дает меньший диапазон регулировок, чем первый, и применяется обычно в сочетании с ним.

Поскольку напряжение на конденсаторе за время горения газоразрядного прибора не успевает уменьшиться до нуля, то к началу нового цикла конденсатор разряжается при помощи специальных контактов. В исходное состояние схема возвращается автоматически или вручную.

Различные практические конструкции реле времени на газоразрядных приборах отличаются в основном типами примененных газоразрядных приборов, количеством электромеханических реле, способами запуска для начала отсчета времени и установок интервалов времени между замыканием пускового контакта и срабатыванием реле, а также способами возврата схемы в исходное состояние.

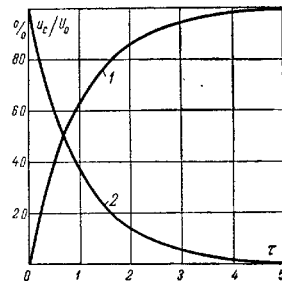


Рис. 2. График изменения напряжения на конденсаторе при заряде (кривая 1) и разряде (кривая 2) в зависимости от времени.

СТАБИЛЬНОСТЬ РАБОТЫ

При постоянных величинах R и C зарядной цепи время выдержки определяется коэффициентом k . Изменение напряжения источника питания или потенциала зажигания ведет к изменению k и, следовательно, к изменению выдержки.

Рассмотрим, как изменяется величина выдержки при изменении напряжения источника питания. Удобнее рассматривать относительное изменение выдержки в процентах, равное $\Delta T/T$, при относительном изменении напряжения питания $\Delta U_0/U_0$. Величина относительного изменения выдержки не зависит от значения RC , а определяется только значениями $\Delta U_0/U_0$ и k .

Для расчетов следует пользоваться графиком, приведенным на рис. 3. График построен для шести значений k . Как видно из графика, изменение выдержки всегда противоположно по знаку изменению напряжения питания. Также видно, что уменьшение напряжения питания вызывает большие изменения времени выдержки, чем увеличение напряжения питания (при любом k). Например, при $k=2$ уменьшение напряжения питания на 20% ($\Delta U_0/U_0 = -20\%$) увеличивает время выдержки на 40%, а увеличение напряжения питания на 20% уменьшает выдержку только на 22%.

При одном и том же изменении напряжения питания изменения выдержки будут различны в зависимости от коэффициента k . Чем больше k , тем меньше будет изменяться выдержка. Например, при $\Delta U_0/U_0 = -20\%$ время выдержки увеличивается на 63% при $k=1,5$, а при $k=4$ выдержка увеличивается только на 32%, т. е. вдвое меньше.

При значениях k , близких к единице, даже небольшие изменения напряжения питания вызывают значительные изменения выдержки. Например, при $k=1,2$ уменьшение напряжения питания на 8% увеличивает время выдержки в 2 раза. При дальнейшем понижении напряжения питания реле временн совсем не сработает. Уменьшение стабильности при уменьшении k объясняется тем, что точка реагирования в этом случае лежит на пологом участке зарядной кривой (рис. 2) и небольшие изменения напряжения питания вызывают значительное изменение выдержки. Чем прямолинейнее участок зарядной кривой, на котором лежит точка реагирования, тем стабильность выше. Наибольшая стабильность получается при линейном возрастании напряжения на конденсаторе. Линейный участок зарядной кривой равен 30—50% от напряжения источника питания, что соответствует $k \approx 2,0 \div 4$.

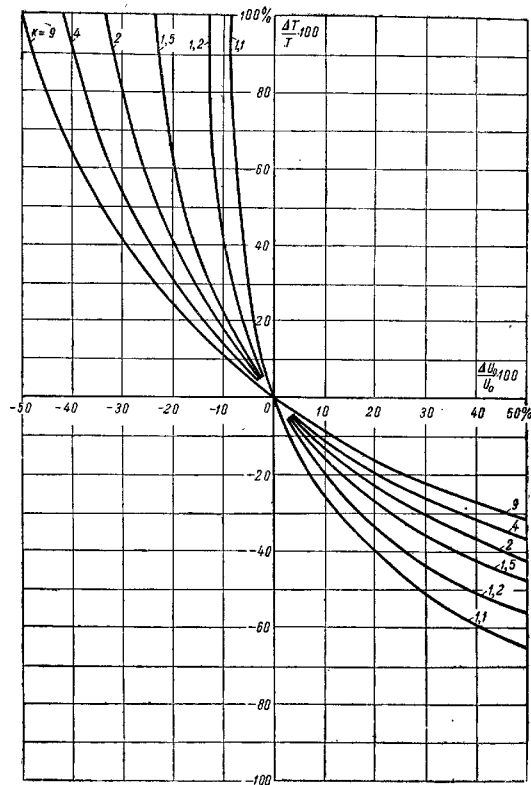


Рис. 3. График для расчета стабильности реле времени с газоразрядными приборами.

Следует отметить, что увеличение k выше 4 уже мало сказывается на повышении стабильности, поскольку точка реагирования в этом случае лежит на прямолинейном участке зарядной кривой. При любом значении k стабильность схемы не может быть выше стабильности источников питания.

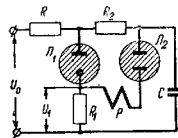


Рис. 4. Схема повышения стабильности реле времени.

Рассмотрим методы повышения стабильности схем реле времени на газоразрядных приборах. Так как нестабильность работы реле времени определяется в основном нестабильностью источников питания, то, применяв стабилизацию последних, работу реле времени можно значительно улучшить.

Для этого чаще всего используются обычные схемы со стабилизатором. Включение стабилизатора уменьшает колебания напряжения источников питания в K раз, где K — коэффициент стабилизации, лежащий в пределах 8—20. Во столько же раз улучшается стабильность реле времени. Коэффициент K можно определить по формуле

$$K = \frac{RU_{cm}}{U_0 R_0},$$

где R — добавочное сопротивление в схеме стабилизатора, ом;

U_{cm} — стабилизированное напряжение, в;

U_0 — напряжение источника питания, в;

R_0 — динамическое сопротивление стабилизатора, ом.

Величина динамического сопротивления стабилизатора лежит в пределах 100—200 ом. Чем выше R_0 , тем ниже K .

Стабильность выдержки можно повысить, если вместо обычной применить схему, изображенную на рис. 4. В этом случае последовательно с газоразрядным прибором J_2 включено напряжение U_1 , что равносильно изменению потенциала зажигания прибора. Если, например, напряжение питания увеличится, то увеличится и потенциал зажигания, так как увеличится U_1 . Поэтому величина k , а следовательно и выдержка, изменятся меньше, чем обычно.

ВЫБОР R И C

Влияние утечек не позволяет применять зарядные сопротивления более 5—10 Мом и конденсаторы более 10—20 мкф.

Чем чувствительнее применено электромагнитное реле, тем меньше может быть емкость зарядного конденсатора. Приближенно можно считать, что на 1 ма тока срабатывания примененного реле требуется 1 мкф емкости зарядного конденсатора.

При выборе типа конденсатора большое внимание следует обращать на сопротивление его изоляции. Если сопротивление изоляции невелико, то одновременно с зарядом конденсатора будет происходить его разряд и время выдержки увеличится по сравнению со временем, определенным по формуле (1). Чем меньше сопротивление изоляции, тем больше эта разница. Наличие сопротивления изоляции сильнее сказывается при больших величинах зарядных сопротивлений, т. е. больших выдержках, поскольку сопротивление изоляции становится соизмеримым с зарядным сопротивлением.

Кроме удлинения времени выдержки, наличие сопротивления изоляции приводит к тому, что нарушается линейная зависимость между выдержкой и постоянной времени зарядной цепи. Ухудшается также стабильность выдержки, так как сопротивление изоляции конденсатора зависит от температуры, влажности, приложенного напряжения и т. д.

Поэтому следует применять бумажные конденсаторы типов КБГ, МБГП и т. п. Электролитические конденсаторы, имеющие низкую изоляцию (сопротивление 0,2—0,5 Мом), можно применять только для малостабильных реле времени. Чем выше рабочее напряжение конденсатора, тем лучше его изоляция. Поскольку время выдержки определяется величинами R и C зарядной цепи, то изменение их ведет к изменению выдержки. Время выдержки можно записать как

$$T = \alpha RC, \text{ где } \alpha = \ln \frac{U_0}{U_0 - U_s}.$$

Пусть величины R и C изменятся на $p\%$, тогда выдержка будет равна:

$$T + \Delta T = \alpha R(1 \pm p)C(1 \pm p).$$

Анализ этого выражения показывает, что наибольшее изменение выдержки будет, если R и C изменяются в одну сторону, и равно $2p$. Например, при $p=10\%$ выдержка изменится на 20% . Наименьшее изменение выдержки получается, когда отклонения R и C имеют одинаковую величину и разные знаки. В этом случае при $p=10\%$ выдержка изменится всего на 1% , при $p=20\%$ — на 4% и т. д. Поэтому для реле времени, к стабильности которого предъявляются высокие требования, необходимо применять высокостабильные сопротивления и конденсаторы.

Следует отметить, что электролитические конденсаторы имеют значительную зависимость емкости от температуры. Так, для конденсаторов типа КЭ-1 при изменении температуры от +10 до +40°С емкость изменяется на 10%.

ВЫБОР ГАЗОРАЗРЯДНОГО ПРИБОРА И ЭЛЕКТРОМАГНИТНОГО РЕЛЕ

Основными параметрами газоразрядных приборов с точки зрения применения их в реле времени являются потенциал зажигания U_z , потенциал погасания U_n и максимально допустимый ток.

Значение потенциала зажигания определяет в основном время выдержки реле времени.

Нужно отметить, что потенциал зажигания газоразрядного прибора изменяется на $\pm 5\%$. После формовки газоразрядного прибора постоянным напряжением эти изменения можно значительно уменьшить. Формовка заключается в том, что газоразрядный прибор через ограничительное сопротивление подключают к источнику постоянного напряжения (большего, чем потенциал зажигания) на 70—100 ч.

Большое значение имеет разность потенциалов зажигания и погасания газоразрядного прибора. Чем больше эта разность, тем длительнее будет разрядный ток конденсатора выдержки через обмотку реле (при одном и том же значении этого конденсатора). Амплитуда этого тока определяется потенциалом зажигания и сопротивлением обмотки реле.

Чем выше потенциал зажигания и меньше сопротивление обмотки, тем больше ток разряда, тем грубее может быть применено электромагнитное реле. Поскольку разрядный ток протекает в течение очень небольшого времени, то он может в десятки раз превышать нормальное значение тока через газоразрядный прибор без опасности его разрушения.

В реле времени на газоразрядных приборах применяют стандартные нейтральные или поляризованные электромагнитные реле постоянного тока. Желательно применять возможно более чувствительные реле, с током срабатывания не более 10—15 ма.

РАСЧЕТ РЕЛЕ ВРЕМЕНИ НА ГАЗОРАЗРЯДНЫХ ПРИБОРАХ

Расчет производится по графику, приведенному на рис. 3. Для этого необходимо знать время выдержки и допустимые ее изменения $\Delta T/T$ при заданных колебаниях питающего напряжения $\Delta U_0/U_0$.

Расчет производится в следующем порядке:

1. По графику рис. 3 находим значение k , удовлетворяющее заданным изменениям напряжения питающей сети. Так как значений k может быть несколько, выбираем из них наименьшее, что позволит использовать меньшие значения R и C для получения заданной выдержки.

Таблица 1

Заряд			Разряд		
k	T/RC	Величина заряда, %	k	T/RC	Величина разряда, %
1,02	4,6	99	1,1	0,1	90,48
1,05	3,0	95	1,22	0,2	81,8
1,11	2,3	90	1,35	0,3	74,0
1,15	2,0	86,5	1,5	0,4	67,0
1,25	1,6	79,8	1,83	0,6	54,9
1,33	1,4	75,3	2,0	0,7	49,6
1,43	1,2	69,9	2,22	0,8	44,9
1,58	1,0	63,21	2,46	0,9	40,68
1,68	0,9	59,3	2,72	1,0	36,79
1,82	0,8	55,0	3,3	1,2	30,1
2,0	0,7	50,3	5,0	1,6	20,2
2,22	0,6	45,1	10,0	2,3	10,0
2,54	0,5	39,3	20,0	3,0	5,0
3,09	0,4	32,97	40,0	3,68	2,5
3,86	0,3	25,9	60,0	4,1	1,67
5,5	0,2	18,1	80,0	4,4	1,25
10,5	0,1	9,52	100,0	4,6	1,0

2. Из табл. 1 находим отношение T/RC для найденного k . Отношение T/RC можно также определить по формуле

$$\frac{T}{RC} = \ln \frac{1}{1 - \frac{1}{k}}$$

Отсюда определяем произведение RC . Если оно получится больше 150—200 сек, то расчет следует повторить, выбрав меньшее значение k . Для обеспечения требуемой стабильности может потребоваться стабилизация источников питания. В этом случае найденную по графику величину $\Delta T/T$ следует уменьшить в K раз.

Выбрав емкость конденсатора, определяем необходимый величину сопротивления.

3. Задавшись напряжением питания U_0 , находим величину напряжения зажигания

$$U_z = \frac{U_0}{k}$$

В схемах с полупроводниковыми выпрямителями напряжение U_0 обычно составляет 1,1—1,3 напряжения электросети. Если в схеме используется стабилизатор, то U_0 равно напряжению стабилизации стабилизатора.

Пример расчета. Рассчитать R и C для реле времени с выдержкой T от 1 до 60 сек. Изменение напряжения сети 220 в на +20% должно изменять выдержку не более чем на $\pm 5\%$. Выпрямленное напряжение $U_0 = 250$ в.

Требуемая стабильность выдержки (+5%) выше, чем стабильность напряжения сети ($\pm 20\%$), поэтому при цене стабилизацию напряжения питания, выбрав стабилизатор типа СГЧС.

Задавшись током нагрузки $I_n = 15$ ма и током через стабилизатор $I_{cm} = 10$ ма, находим величину дополнительного сопротивления R_0 по формуле

$$R = \frac{U_0 - U_{cm}}{I_n + I_{cm}} = \frac{250 - 150}{(10 + 15) \cdot 10^{-3}} = 4000 \text{ ом.}$$

Затем определяем коэффициент стабилизации

$$K = \frac{RU_{cm}}{U_0 R_0} = \frac{4000 \cdot 150}{250 \cdot 200} = 12.$$

Следовательно, напряжение на выходе стабилизатора будет изменяться на

$$\left(\frac{\Delta U_0}{U_0}\right)_{cm} = \pm \frac{20}{12} = \pm 1,7\% \approx \pm 2\%.$$

Из графика (рис. 3) видно, что нестабильности $\pm 2\%$ удовлетворяют все значения k .

Берем наименьшее значение k , равное 1,1.

Из табл. 1 находим, что для $k = 1,1$

$$\frac{T}{RC} = 2,4,$$

откуда

$$RC = \frac{T}{2,4} = \frac{60}{2,4} = 2,5 \text{ сек.}$$

Задавшись значением емкости 20 мкф, находим:

$$R = \frac{25}{20} = 1,25 \text{ Мом.}$$

Затем определяем:

$$U_a = \frac{U_{cm}}{k} = \frac{150}{1,1} = 36 \text{ в.}$$

Такое значение U_a имеют стабилизаторы типа СГЧС.

Расчет выпрямителя производится обычными методами. Фильтр выпрямителя состоит обычно из одного конденсатора емкостью 10—20 мкф.

РЕЛЕ ВРЕМЕНИ С ЭЛЕКТРОННЫМИ ЛАМПАМИ И ТИРАТРОНАМИ

Применение электронных ламп позволяет создать более совершенные реле времени, чем реле с газоразрядными приборами. Ламповые реле времени имеют больший диапазон выдержек, более стабильны, допускают возможность применения менее чувствительных электромагнитных реле и конденсаторов малой емкости.

Наличие нити накала у ламп усложняет реле времени, так как при питании от сети переменного тока приходится применять трансформаторы или добавочные сопротивления, а при питании от батарей иметь отдельные батареи накала.

Ламповые реле времени применяются там, где требуется высокая точность отсчета времени (например, при проведении научно-исследовательских работ и экспериментов). Они позволяют конструировать комбинированные устройства (например, автоматический экспонометр для фотопечати).

УСТРОЙСТВО ЛАМПОВЫХ РЕЛЕ ВРЕМЕНИ

Принципиальная схема наиболее распространенного типа реле времени показана на рис. 5,а.

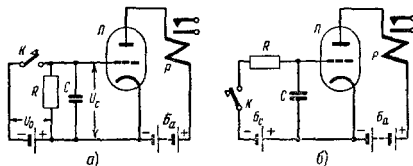


Рис. 5. Принципиальные схемы ламповых реле времени.

Здесь в исходном состоянии лампа L заперта напряжением U_0 . Выдержка начинается при размыкании ключа K . Конденсатор C начнет разряжаться через сопротивление R . При этом напряжение U_c на сетке лампы, определяемое зарядом конденсатора C , будет убывать по закону

$$U_c = U_0 e^{-\frac{t}{RC}},$$

где U_0 — начальное напряжение на сетке лампы, в.

Электромагнитное реле P , включенное в анодную цепь лампы, работает, когда анодный ток возрастет до величины тока срабатывания реле.

Время между размыканием ключа и срабатыванием реле и есть время выдержки. Оно может быть рассчитано по формуле

$$T = RC \ln k, \quad (2)$$

где $k = U_a / U_p$;

U_p — напряжение на сетке лампы, при котором срабатывает реле (напряжение реагирования).

Это время прямо пропорционально постоянной времени цепи RC и зависит от коэффициента k . Чем больше k , тем больше выдержка при тех же R и C . Увеличение k означает, что конденсатор разряжается до меньшего напряжения.

Схема реле времени, показанная на рис. 5,б, менее распространена. Здесь выдержка начинается при замыкании ключа K . Конденсатор C заряжается от батареи B_c через сопротивление R . Отрицательное смещение на сетке лампы начнет возрастать, а анодный ток лампы будет убывать. Когда анодный ток достигнет значения тока отпускания электромагнитного реле, якорь последнего отпадает и выдержка закончится. Величина выдержки может быть определена по формуле (1).

В практических схемах реле времени роль сеточной батареи B_c обычно выполняет источник анодного напряжения B_a , что достигается применением соответствующей коммутации. В этих схемах используются обычные приемно-усилительные лампы, чаще всего триоды или пентоды в триодном соединении. Пентоды применяются в более сложных схемах с использованием различных обратных связей.

Применение триодов объясняется тем, что в этом случае достигается лучшее согласование внутреннего сопротивления лампы с нагрузкой. Оптимальным режимом работы электронной лампы является случай равенства сопротивления нагрузки и внутреннего сопротивления лампы. Сопротивление обмоток электромагнитных реле редко превышает значение 10—15 ком, поэтому согласование облегчается при использовании триодов, имеющих тот же порядок внутренних сопротивлений. Кроме того, реле времени на триодах имеют большую стабильность, чем на пентодах.

Для повышения стабильности следует применять лампы с более короткой сеточной характеристикой. Электронные лампы, применяемые в схемах реле времени, должны иметь

высокую изоляцию и не иметь газа внутри лампы. Обратный ток сетки должен быть, по возможности, минимальным.

Роль исполнительных механизмов выполнения стандартные электромагнитные реле массового производства, например нейтральные реле типов КДР, РКМ, РСМ или поляризованные реле типов РП-4, ТРМ и т. д.

СТАБИЛЬНОСТЬ РАБОТЫ

Нестабильность выдержки реле времени на электронных лампах объясняется непостоянством питающих напряжений, изменением параметров ламп и электромагнитных реле со временем, а также влиянием дестабилизирующих факторов разного рода.

Рассмотрим, как изменяется выдержка при изменении питающих напряжений. Изменение анодного напряжения вызывает смещение характеристики лампы. В этом случае анодному току, при котором срабатывает электромагнитное реле, будет соответствовать другое напряжение на сетке лампы (рис. 6).

Точку реагирования на сеточной характеристике лампы можно выбрать так, что изменение зарядного напряжения будет компенсировано изменением напряжения реагирования. Анализ показывает, что изменение выдержки будет теоретически равно нулю, если напряжение реагирования выбрать равным $U_p = U_a / \mu$. Это напряжение называется оптимальным напряжением реагирования. Практически выдержка будет все же изменяться, так как в приведенных рассуждениях мы не учитывали изменения напряжения накала.

Оптимальное напряжение реагирования может быть определено по сеточной характеристике лампы. Физически оно характеризует напряжение записания лампы при линейной аппроксимации ламповой характеристики (рис. 6).

Поскольку величина ΔU_p определяется, кроме U_a , еще значением коэффициента усиления лампы μ , то изменение выдержки также зависит от μ .

Следует отметить, что в практических схемах напряжения реагирования редко выбирают равным оптимальному,

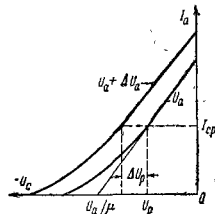


Рис. 6. Зависимость тока срабатывания I_{cp} от напряжения на сетке лампы.

так как оно соответствует малым значениям анодного тока лампы, что требует использования чувствительного электромагнитного реле. Для практических расчетов стабильности выдержки реле времени можно пользоваться графиком, приведенным на рис. 7. По нему можно определить относительное изменение выдержки $\Delta T/T\%$ от относительного изменения анодного напряжения $\Delta U_a/U_a\%$ при различных значениях коэффициента усиления лампы μ и коэффициента k .

Из графика следует, что относительное изменение выдержки не зависит от RC зарядной цепи, а определяется величинами k и μ . При $k=\mu$ выдержка не изменяется при изменении анодного напряжения; это соответствует случаю оптимального напряжения реагирования.

При напряжении реагирования, меньшем оптимального ($k < \mu$), повышение напряжения питания ведет к уменьшению, а при большем ($k > \mu$) — к увеличению выдержки.

Как видно из графика, уменьшение напряжения питания вызывает большие изменения выдержки, чем его увеличение. Так, при $\mu=50$ и $k=20$ повышение U_0 на 20% увеличивает выдержку на 3,4%, а понижение U_0 на 20% уменьшает выдержку на 4,6%.

График рис. 7 построен для μ со значениями 25, 50 и 100 и для k со значениями 20, 40, 60, 80 и 100. При других значениях μ и k величину относительного изменения выдержки можно также определить по графику, но приближенно.

Питание реле времени может быть осуществлено непосредственно от переменного тока (без выпрямителя). Анодный ток через лампу будет протекать в этом случае только во время положительного полупериода анодного напряжения. Реле будет реагировать на действующее значение этого тока, но его контакты будут вибрировать и оборотать. Включение шунтирующего конденсатора (5—10 мкф) позволяет устранить вибрацию якоря. Заряжаясь во время положительного полупериода, конденсатор поддерживает напряжение на реле практически постоянным.

Расчет реле времени при полном питании переменным током ведется так же, как и при питании постоянным током. Однако при построении динамической характеристики на оси следует откладывать амплитудное значение анодного напряжения. Ток срабатывания в этом случае будет равен амплитуде анодного тока. Если же анодное реле не

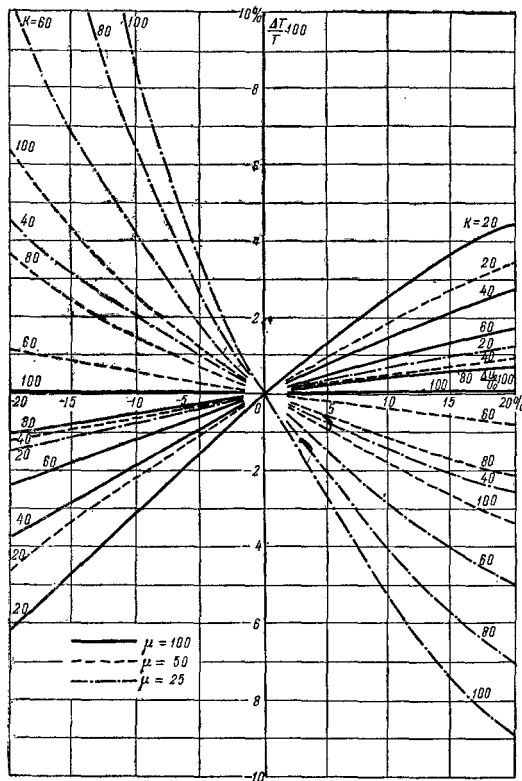


Рис. 7. График для расчета стабильности реле времени с электронными лампами.

шунтировано конденсатором, то амплитуда импульса анодного тока должна быть в 3—3,6 раза больше тока срабатывания реле. Для устранения дребезжания якоря следует применять электромагнитное реле с большим временем отпускания. Все сказанное выше о стабильности выдержки целиком относится и к реле времени с питанием от переменного тока.

РЕЛЕ ВРЕМЕНИ НА ТИРАТРОНАХ

Большинство реле времени на тиратронах собирается по схеме, показанной на рис. 5,а. Питание анодной цепи тиратрона почти во всех случаях осуществляется непосредственно от сети переменного тока.

Расчет времени выдержки тиратронного реле времени производится по формуле (2). Напряжение U_p определяется по пусковой характеристике тиратрона.

Стабильность тиратронных реле времени обычно несколько ниже стабильности реле времени на электронных лампах, но она вполне достаточна для большинства практических применений. Меньшая стабильность объясняется тем, что даже при неизменных анодном и накальном напряжениях зажигание тиратрона происходит при различных напряжениях на сетке (пусковая характеристика тиратрона представляет собой не линию, а некоторую область, называемую пусковой областью тиратрона). Неустойчивость реле времени на тиратронах лучше определять опытным путем.

Все сказанное выше о выборе R и C зарядной цепи целиком относится к реле времени на тиратронах. При выборе электромагнитного реле следует иметь в виду, что величина тока через проводящий тиратрон не зависит от напряжения на его сетке, а определяется напряжением питания и сопротивлением в анодной цепи. Поэтому возможно применение электромагнитных реле с током срабатывания до 50—100 ма.

ПОВЫШЕНИЕ СТАБИЛЬНОСТИ

С целью повышения стабильности ламповых реле времени напряжение реагирования желательно выбирать на крутом участке разрядной кривой конденсатора, т. е. реле должно срабатывать при больших отрицательных напряжениях на сетке лампы. Однако это требует применения чувствительных электромагнитных реле или увеличения числа ламп.

Одна из схем, позволяющая устранить эту трудность, приведена на рис. 8. Здесь в цепь сетки лампы L последовательно с разрядной цепью вводится источник постоянного напряжения U_k , называемого напряжением компенсации. Напряжение между катодом и сеткой лампы всегда меньше напряжения на конденсаторе C на величину компенсирующего напряжения. Поэтому напряжение реагирования можно выбрать достаточно малым (даже равным нулю) и применить электромагнитное реле с большим

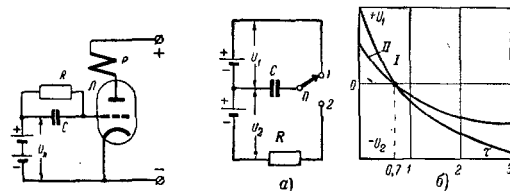


Рис. 8. Схема повышения стабильности реле времени.

Рис. 9. Разрядная цепь.

а — схема разрядной цепи; б — график, поясняющий работу цепи.

током срабатывания. Пусть, например, $U_k = 30$ в, а $U_p = -1$ в; тогда реле сработает при напряжении на конденсаторе, равном -31 в.

Напряжение компенсации выбирают обычно не более 0,1—0,2 анодного напряжения, так как увеличение U_k ведет к уменьшению выдержки (при тех же значениях R и C).

Повысить стабильность реле времени можно и применением особого включения разрядной цепи. Одна из схем разрядной цепи приведена на рис. 9,а.

Здесь в исходном положении конденсатор C заряжен до напряжения U_1 . После переброса переключателя Π в положение 2 конденсатор начнет перезаряжаться от батареи U_2 . Напряжение на конденсаторе уменьшится до нуля за время, равное $0,7 \tau$ (кривая I на рис. 9,б), а не $4,6 \tau$, как обычно, так как перезаряд конденсатора эквивалентен разряду до половины начального напряжения. Время разряда конденсатора до нуля не изменяется при изменении напряжений U_1 и U_2 в очень широких пределах (кривая II на рис. 9,б). Необходимо только, чтобы U_1 все

время было равно U_2 . Применение такой схемы позволяет создать реле времени очень высокой стабильности.

Высокой стабильностью обладают схемы реле времени, у которых напряжение на конденсаторе возрастает по линейному закону. Это возможно при заряде конденсатора постоянным по величине током. Такие схемы широко используются в генераторах развертки. Применение их эквивалентно либо увеличению постоянной времени зарядной цепи, либо заряду от источника с напряжением, много большим напряжения питания. В обоих случаях это дает линейное нарастание напряжения на конденсаторе.

Рассмотрим наиболее распространенные схемы.

Схема с лампой постоянного тока. В этом случае заряд конденсатора производится через электронную лампу (чаще всего пентод), работающую на пологом участке анодной характеристики (рис. 10,а).

Применение лампы постоянного тока эквивалентно заряду конденсатора от источника с большим напряжением, чем напряжение анодного питания. Поэтому заряд до 0,7—0,85 напряжения анодного питания происходит по линейному закону, так как используется лишь небольшой участок эквивалентной зарядной кривой.

Схема с отрицательной обратной связью по току. Если сопротивление R_k в катод лампы не шунтировано конденсатором, то возникает отрицательная обратная связь по току (рис. 10,б). Сопротивление между анодом лампы и «землей» при этом сильно возрастает. Например, для

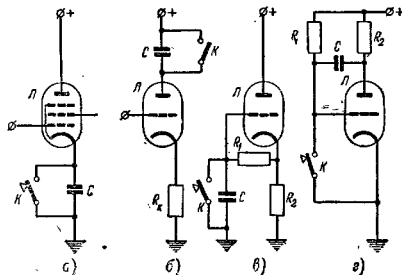


Рис. 10. Схемы реле времени с применением обратных связей.

лампы типа 6Н2П при $R_k = 100$ ком это сопротивление равно 10,1 Мом.

Кроме того, введение отрицательной обратной связи стабилизирует величину анодного тока лампы при изменении напряжения источников питания и при смене ламп.

Схема со следящей лампой. Для получения линейного напряжения на конденсаторе C напряжение на зарядном сопротивлении R_1 должно быть постоянным. Это достигается применением положительной обратной связи (рис. 10,в).

Конденсатор C заряжается через сопротивление R_1 напряжением, созданным током лампы I на сопротивлении R_2 . По мере заряда конденсатора напряжение на сетке лампы становится более положительным, что приводит к увеличению тока через лампу и повышению падения напряжения на сопротивлении R_2 . Благодаря применению катодного повторителя напряжение на катоде лампы все время остается почти равным напряжению на сетке, т. е. падение напряжения на сопротивлении R_1 остается постоянным. Действие положительной обратной связи равносильно заряду конденсатора через сопротивление много большее, чем R_1 .

Интегрирующие схемы. Основная схема такого типа приведена на рис. 10,г. Включение конденсатора C между анодом и управляющей сеткой лампы L создает отрицательную обратную связь. Это эквивалентно включению между управляющей сеткой и катодом емкости C_e , определяемой по формуле

$$C_e = C(1 + K),$$

где K — коэффициент усиления каскада.

Емкость C_e практически много больше C . Например, при $C = 1$ мкф и $K = 100$ емкость $C_e = 101$ мкф.

Основное преимущество рассмотренных здесь схем заключается в том, что они позволяют при небольших значениях R и C зарядной цепи получить длительные и стабильные выдержки.

РАСЧЕТ ЛАМПОВЫХ РЕЛЕ ВРЕМЕНИ

Наиболее простым и вместе с тем достаточно точным является графоаналитический метод расчета.

Для расчета реле времени необходимо задаться величиной максимальной выдержки и процентным изменением ее при заданных колебаниях напряжения сети.

Перед расчетом нужно выбрать схему, применение которой наиболее целесообразно в заданных условиях. Расчет ведется в следующем порядке.

1. В зависимости от величины тока и напряжения нагрузки и ее характера (активная, реактивная и т. д.) подбирают подходящее реле. Если этим условиям удовлетворяет несколько типов реле, то берут реле с меньшим током срабатывания.

Для расчета необходимо знать ток срабатывания $I_{ср}$, ток отключения $I_{отп}$ и сопротивление обмотки R_0 реле.

2. По табл. 2 подбирают электронную лампу с номинальным анодным током, большим, чем ток срабатывания электромагнитного реле.

Таблица 2

Лампа	$U_n, \text{ в}$	$I_n, \text{ а}$	$U_a, \text{ в}$	$I_a, \text{ ма}$	$S, \text{ ма/в}$	μ	$R_f, \text{ ком}$
6Н8С ¹	6,3	0,6	250	15	2,6	70	7,8
6Н9С ¹	6,3	0,3	250	6	1,6	70	44
6Н1П ¹	6,3	0,6	250	40	3,2	35	11
6Н2П ¹	6,3	0,345	250	6	2	97	48
6Н7С ¹	6,3	0,81	250	15	3,2	35	11
6Н5С ¹	6,3	2,5	100	240	6,7	3	0,46
6К7 ²	6,3	0,3	250	18	1,3	8	6,3

¹ Для одного триода. ² Для триодного включения. Величина анодного тока лампы дана при напряжении на первой сетке, равном нулю.

3. Выбирают величину напряжения U_a так, чтобы анодный ток лампы при $U_c = 0$ был в 1,5—2 раза больше тока срабатывания реле.

4. На оси U_a семейства анодных характеристик лампы (рис. 11) откладывают значение выбранного U_a и из этой точки проводят нагрузочную характеристику. На оси I_a откладывают значение тока $I_{ср}$ и проводят прямую (параллельную оси U_a) до пересечения ее с нагрузочной характеристикой (точка А). Из характеристики находят напряжение на сетке ($U_{с2}$), при котором анодный ток равен $I_{ср}$.

5. Рассчитывают величины RC и U_0 . Для этого, исходя из требуемой стабильности, по графику рис. 7 выбирают значение k . Затем находят величину зарядного напряжения $U_0 = kU_{с2}$. По найденному значению k определяют из табл. 1

или по формуле $\frac{T}{RC} = \ln k$ отношение $\frac{T}{RC}$, из которого на-

ходят величину RC .

Задаввшись значением емкости конденсатора C , находят величину зарядного сопротивления R .

Пример расчета. Рассчитать реле времени, у которого при изменении напряжения питания на $\pm 10\%$ выдержка должна изменяться не более чем на $\pm 1\%$. Выбрано электромагнитное реле типа РС-13 с током срабатывания $I_{ср} = 8 \text{ ма}$ и сопротивлением обмотки $R_0 = 6500 \text{ ом}$. Максимальное время выдержки $T = 20 \text{ сек}$.

По табл. 2 подбираем лампу с анодным током более 8 ма , например 6Н8С с $R_f = 8 \text{ ком}$ и $\mu = 20$. Напряжение питания U_a выберем равным 250 в .

Строим нагрузочную характеристику (рис. 12) и из нее находим напряжение реагирования $U_{с2} = -6 \text{ в}$. По графику рис. 7 находим,

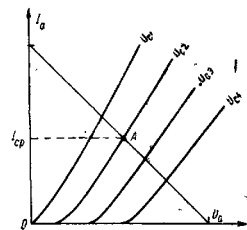


Рис. 11. Построение нагрузочной характеристики.

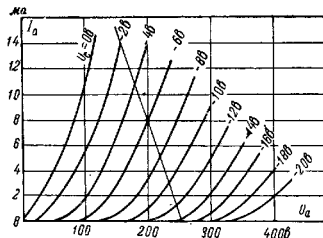


Рис. 12. Построение нагрузочной характеристики для лампы 6Н8С.

что при $\mu = 20$ требуемая стабильность будет обеспечена при $k = 20$. Затем находим $U_0 = U_{с2} \cdot k = 6 \cdot 20 = 120 \text{ в}$.

Из табл. 1 для $k = 220$ находим $\frac{T}{RC} = 3,0$, откуда $RC = \frac{20}{3,0} = 6,67 \text{ сек}$.

Задаввшись емкостью конденсатора $C = 3 \text{ мкф}$, находим $R = \frac{RC}{C} = \frac{6,67}{3} = 2,2 \text{ Мом}$.

ПРАКТИЧЕСКИЕ КОНСТРУКЦИИ РЕЛЕ ВРЕМЕНИ

ПРОСТОЕ РЕЛЕ ВРЕМЕНИ

Реле времени, схема которого приведена на рис. 13, было разработано для автоматического отсчета времени при фотопечати.

Рассмотрим кратко работу этого устройства. При замыкании кнопки K срабатывает реле P . Контакты 2 и 3 вклю-

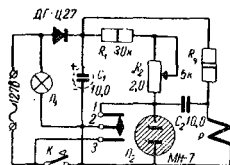


Рис. 13. Схема простого реле времени.

чают в электросеть лампу фотоувеличителя L_1 , а контакты 1 и 2 замыкаются (после срабатывания реле кнопку можно отпустить, так как она блокируется контактами 2 и 3). Конденсатор C_2 начинает заряжаться через сопротивление R_1 и R_2 . Когда напряжение на нем станет равным потенциалу зажигания неоновой лампы L_2 , последняя вспыхивает и конденсатор разряжается через эту лампу и обмотку реле P . Ток разряда конденсатора C_2 направлен навстречу протекающему через обмотку току, поэтому магнитное поле реле, определяемое разностью этих токов, ослабевает, якорь реле отпадает, и контакты 2 и 3 отключают реле времени от электросети, а контакты 1 и 2 разряжают конденсатор C_2 через обмотку реле. Величина выдержки плавно регулируется сопротивлением R_2 . При указанных на схеме величинах интервал выдержек равен 0,5—30 сек.

Налаживание схемы сводится лишь к подбору сопротивления R_3 . Величина этого сопротивления, зависящая от сопротивления обмотки R_0 и тока срабатывания реле I_{cp} , может быть подсчитана по формуле

$$R_3 = \frac{0,8U_{C1}}{I_{cp}} - R_0,$$

где U_{C1} — напряжение на конденсаторе C_1 .

В данной конструкции применено электромагнитное реле типа РСМ-2 с током срабатывания 20 ма и сопротивлением обмотки 750 ом. Возможно также применение

и другого любого реле с током срабатывания не более 20 ма.

Неоновую лампу типа МН-7 можно заменить двумя последовательно включенными лампами типа МН-3. Электролитический конденсатор C_1 должен быть взят на рабочее напряжение не менее 450 в. Конденсатор C_2 применен бумажный, типа МБГП на рабочее напряжение 200 в.

РЕЛЕ ВРЕМЕНИ ДЛЯ ЗАРЯДКИ АККУМУЛЯТОРОВ

Включению высокого напряжения на аноды газотронного выпрямителя должен предшествовать предварительный прогрев нитей накала его ламп. Несоблюдение этого правила ведет к порче газотронов. Описываемое реле

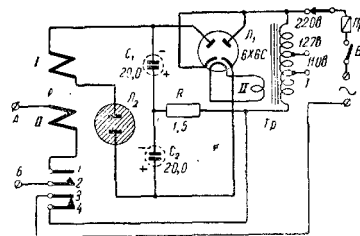


Рис. 14. Схема реле времени для зарядки аккумуляторов.

времени исключает возможность включения высокого напряжения на аноды газотронов до истечения срока, необходимого для прогрева нитей накала.

Длительная эксплуатация газотронного выпрямителя с данным реле времени показала надежность его работы. Задержку между включениями накальных и анодных напряжений можно изменять от 3 до 11 мин.

Рассмотрим работу схемы (рис. 14). При включении на обмотку I трансформатора Tr через нормально замкнутые контакты 3-4 реле P подается переменное напряжение электросети. Одновременно это напряжение поступает и в цепь питания накала газотронов. После разогрева накала лампы L_1 начинается заряд конденсаторов C_1 и C_2 (заряд конденсатора C_1 происходит при прохождении тока

через левый, а C_2 через правый диод). При напряжении на конденсаторах, равном напряжению зажигания газового разрядника L_2 , конденсаторы разряжаются через обмотку I реле P , которое срабатывает. При этом его контакты 3 и 4 отключают трансформатор Tr от электросети, а контакты 1 и 2 включают анодное напряжение на газотроны. Ток нагрузки выпрямителя начинает протекать по обмотке II реле P и якорь последнего остается притянутым.

При прекращении подачи на выпрямитель питающего напряжения или отключении нагрузки якорь реле отпадает и схема возвращается в исходное состояние.

Трансформатор Tr выполнен на сердечнике из пластин типа Ш-20 при толщине пакета 20 мм. Обмотка I состоит из 2640 витков провода ПЭЛ 0,25 с отводами от 1 320-го и 1 524-го витков для включения в сеть с напряжением 110 и 127 в, а обмотка II — из 60 витков ПЭЛ 0,33 (лампа 6Х6С работает при напряжении накала, равном 5 в).

Реле P применено телефонного типа (№ 637 завода «Красная Заря»). Часть витков обмотки этого реле удаляется, а оставшиеся 300 витков используются как обмотка I . На освободившееся место наматывается обмотка II , число витков которой подбирается так, чтобы реле надежно срабатывало при минимальном токе нагрузки (направление поля обмотки II должно совпадать с полем обмотки I). Контакты реле должны быть рассчитаны на ток до 3 а.

Поскольку от реле времени не требуется высокой стабильности, то конденсаторы C_1 и C_2 могут быть электролитическими (на рабочее напряжение не менее 450 в).

Газовый разрядник применен типа РА-460, но его можно заменить разрядниками типа РБ-2 или РА-350.

Величина сопротивления R выбирается в зависимости от необходимой выдержки. При указанной на схеме величине $R=1,5$ Мом реле работает с выдержкой 5,5 мин.

ВЫСОКОСТАБИЛЬНОЕ РЕЛЕ ВРЕМЕНИ

Реле времени, принципиальная схема которого приведена на рис. 15, было разработано для автоматического отсчета выдержек при фотопечати. Диапазон выдержек от 1 до 128 сек можно изменять скачками при помощи переключателя Π (1, 2, 4, 8, 16, 32 и 64 сек) и плавно потенциометром R_0 .

Рассмотрим работу схемы. При кратковременном замыкании кнопки K напряжение от выпрямителя подается на обмотку II реле P , которое срабатывает. При этом контакты 3 и 4 блокируют кнопку, контакты 5 и 6 включают лампу фотоувеличителя L_3 , а контакты 1 и 2 замыкают обкладку конденсатора C_1 .

В момент, когда напряжение на конденсаторе C_1 достигает напряжения зажигания стабилитрона L_1 , конденсатор разряжается через стабилитрон и обмотку I реле.

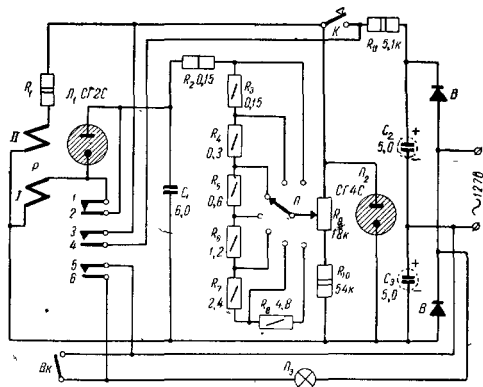


Рис. 15. Схема реле времени высокой стабильности.

Витки обмоток I и II реле включены навстречу друг другу, поэтому их поля взаимно уничтожаются и якорь реле отпустится, разорвав контактами 3 и 4 цепь выпрямителя, а контактами 5 и 6 цепь лампы фотоувеличителя. К концу выдержки кнопка K должна быть отпущена, иначе произойдет повторное включение реле времени. Выключатель $Вк$ позволяет включать лампу фотоувеличителя на произвольное время (например, при фокусировке или смене кадров).

Зарядное напряжение стабилизировано стабилитроном L_2 . Выпрямитель собран по схеме удвоения напряжения на селеновом столбике B .

Потенциометр R_3 желательно применить проволочный, в 10—20 ком. Для того чтобы при перемещении его движка выдержка менялась точно в 2 раза, величина сопротивления R_{10} (включенного последовательно с R_3) определяется по формуле

$$R_{10} = 3R_3.$$

Селеновый столбик B имеет 24 шайбы диаметром 18 мм с выводом от середины.

Достоинством описанного реле является то, что энергия от электросети потребляется только во время экспозиции.

РЕЛЕ ВРЕМЕНИ С ДВУМЯ ЭЛЕКТРОМАГНИТНЫМИ РЕЛЕ

Реле времени разработано для фотографии, но его можно применить также для включения напряжения на аноды ламп выпрямителя (передатчика или усилителя).

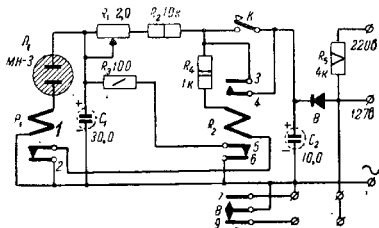


Рис. 16. Схема реле времени с двумя электромагнитными реле.

При замыкании кнопки K (рис. 16) срабатывает реле P_2 , которое подключается к цепи выпрямителя через сопротивление R_4 и замкнутые контакты 1 и 2 реле P_1 . При этом контакты 3 и 4, а также 7 и 8 замыкаются, а контакты 5 и 6 и 9 размыкаются, включая или выключая коммутируемую цепь. После этого кнопку отпускают, так как она оказывается заблокированной контактами 3 и 4 реле P_2 . Конденсатор C_1 начинает заряжаться через сопротивления R_1 и R_2 от выпрямителя.

После заряда конденсатора C_1 до напряжения зажигания неоновой лампы срабатывает реле P_1 , разрывая контактами 1 и 2 цепь питания обмотки реле P_2 . Контакты 3 и 4 реле P_2 отключают цепь питания реле времени. Одновременно контакты 7 и 8 размыкаются, а кон-

такты 8 и 9 замыкаются. Конденсатор C_1 разряжается через сопротивление R_3 и замкнутые контакты 5 и 6 реле P_2 .

Интервал выдержек данного реле 0,15÷30 сек.

В качестве P_2 применено электромагнитное реле типа РС-13, а в качестве P_1 поляризованное реле типа РП-4.

Вместо неоновой лампы МН-3 можно применить лампу типа МН-7. Величина сопротивления R_4 указана приблизительно. Точное значение R_4 можно определить по формуле (см. стр. 26).

РЕЛЕ ВРЕМЕНИ ДЛЯ ЗВУКОВОЙ СИГНАЛИЗАЦИИ

Реле времени (рис. 17) предназначено для подачи звукового сигнала через определенное время после замыкания выключателя B_k . Это время можно изменять скачка-

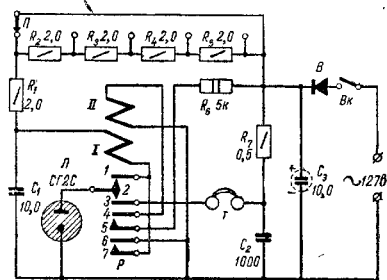


Рис. 17. Схема реле времени для звуковой сигнализации.

ми от 0,5 до 2,5 мин, через 0,5 мин при помощи переключателя $П$.

После замыкания B_k начинается заряд конденсатора C_1 через сопротивления R_1 — R_5 . Разряд этого конденсатора через обмотку 1 реле P и стабилитрон $Л$ приводит к следующему. Обмотка 1 реле через контакты 6 и 7 замыкает конденсатор C_1 , контакты 4 и 5 подключают обмотку II реле к источнику постоянного напряжения и якорь реле остается в притянутом состоянии. Стабилитрон через контакты реле 2 и 3 подключается к телефонным наушникам T , образуя вместе с сопротивлением R_7 и кон-

денсатором C_2 релаксационный генератор звуковой частоты (частота генерации устанавливается подбором сопротивления R_7).

Выключение звуковой сигнализации осуществляется выключателем Bk .

Селеновый столбик B имеет 10 шайб диаметром 18 мм.

Реле P применено такое же, как в реле времени, описанном на стр. 28.

РЕЛЕ ВРЕМЕНИ НА ТИРАТРОНЕ С ХОЛОДНЫМ КАТОДОМ

В схемах реле времени широкое применение находят тиратроны с холодным катодом. Отличительной чертой этих тиратронов является их высокая экономичность по

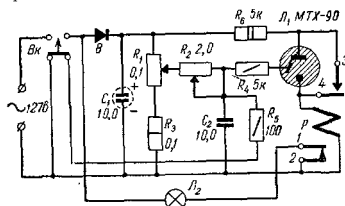


Рис. 18. Схема простейшего реле времени на тиратроне с холодным катодом.

сравнению с обычными тиратронами и электронными лампами. Это объясняется отсутствием нити накала и малым внутренним сопротивлением тиратрона с холодным катодом.

Тиратрон с холодным катодом относится к категории ионных приборов. Устройство его аналогично неоновой лампе и отличается только наличием третьего (стартового) электрода, помещенного между анодом и катодом. Момент зажигания тиратрона определяется потенциалом стартового электрода (при постоянном анодном напряжении).

Схема простейшего реле времени с таким тиратроном приведена на рис. 18.

При замыкании выключателя Bk зажигается лампа фотоувеличителя L_2 , так как через Bk и нормально замкнутые контакты 1 и 2 реле P она оказывается подключенной к электросети.

Одновременно подается постоянное напряжение на анод тиратрона и начинается заряд конденсатора C_2 через сопротивление R_1 и R_2 . Контакты 3 и 4 при этом разомкнуты.

Когда напряжение на конденсаторе C_2 достигнет потенциала зажигания тиратрона, конденсатор начнет разряжаться через сопротивление R_4 , участок стартовый электрод—катод и обмотку реле P . Это вызовет зажигание тиратрона, от анодного тока которого срабатывает реле. Его контакты 1 и 2 выключат лампу фотоувеличителя, а контакты 3 и 4 замкнут тиратрон. Сопротивление R_4 служит для ограничения разрядного тока в цепи стартового электрода. После срабатывания реле схему следует отключить от электросети выключателем Bk , чтобы избежать лишнего нагрева деталей схемы. При указанных на схеме данных реле времени обеспечивает интервал выдержек от 0,5 до 60 сек. Реле P можно применить любого типа на ток срабатывания не более 15—20 ма.

РЕЛЕ ВРЕМЕНИ ДЛЯ ВКЛЮЧЕНИЯ ОСВЕЩЕНИЯ

Реле времени разработано для включения освещения в подъезде или коридоре. Его применение позволяет более экономно расходовать электроэнергию, так как освещение включается только на заранее установленное время, которое может быть выбрано в пределах от 30 сек до 10 мин.

Для включения освещения нет необходимости включать какие-либо кнопки или выключатели, а достаточно лишь на короткое время коснуться рукой металлического штырька, соединенного со стартовым электродом тиратрона. Прикосновение к стартовому электроду совершенно безопасно, поскольку он не имеет соединения с электросетью. Работу реле времени можно сделать более эффективной, если стартовый электрод тиратрона соединить с металлической ручкой, укрепленной на двери ведущей в коридор или подъезд.

Схема реле времени приведена на рис. 19. В исходном состоянии тиратрон L_1 не проводит, так как напряжение на стартовом электроде равно нулю. Касание стартового электрода A рукой вызывает зажигание тиратрона. Последний начинает проводить, реле P_1 срабатывает и его контакты 2, 3 и 4 включают осветительную лампу L_2 .

Одновременно через сопротивление R_1 начинается заряд конденсатора C_2 . Когда он зарядится до потенциала зажигания неоновой лампы L_3 , последняя зажигается.

Разрядный ток конденсатора C_2 притянет якорь реле P_2 , что вызовет размыкание контактов 1 и 2 этого реле, которые разорвут цепь реле P_1 . Якорь реле P_1 отойдет и его контакты 2, 3 и 4 выключат лампу L_2 , а контакты 1 и 2 разрядят конденсатор C_2 . Схема окажется подготовленной к следующему включению.

Реле P_1 применено телефонного типа с сопротивлением обмотки 2000 ом и током срабатывания около 15 ма. Контакты реле должны быть рассчитаны на ток до 1—2 а.

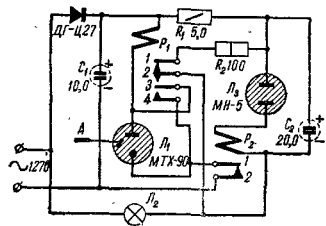


Рис. 19. Схема реле времени для включения освещения.

Реле P_2 можно взять любого типа с током срабатывания не более 5—10 ма. Конденсатор C_2 применен электролитический, поскольку стабильность выдержки реле времени не имеет значения. Сопротивление R_1 подбирают при наладке схемы. Провод (не длиннее 2 м), подключенный к стартовому электроду, следует применять с хорошей изоляцией (например, хлорвиниловой).

Схема реле времени потребляет энергию от электросети только во время горения осветительной лампы L_2 .

ОДНОЛАМПОВОЕ РЕЛЕ ВРЕМЕНИ

Описываемое реле времени предназначено для автоматического отсчета выдержки при фотопечати в пределах 0,5—60 сек. Питание его производится непосредственно от электросети без выпрямителя, что удешевляет устройство.

Схема реле времени показана на рис. 20. В исходном состоянии выключатель B_k разомкнут и лампа фотувеличителя L_2 не горит. Переключатель P должен находиться при этом в положении 1. Конденсатор C_1 заряжается через промежуток сетки — катод лампы L_1 и лампу фотувеличителя L_2 .

Выдержка начинается замыканием выключателя B_k . При этом лампа L_2 через нормально замкнутые контакты 1 и 2 реле P включается в электросеть. Конденсатор C_1 начинает разряжаться через сопротивления R_1 и R_2 . По мере его разряда отрицательный потенциал на сетке лампы L_1 уменьшается и через лампу начинает проходить

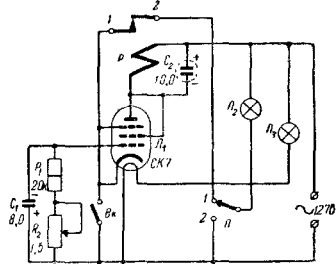


Рис. 20. Схема однолампового реле времени.

ток. Реле P срабатывает и его контакты 1 и 2 разрывают цепь лампы фотувеличителя.

Для возврата схемы в исходное состояние необходимо разомкнуть выключатель B_k .

Питание нити накала лампы L_1 производится через лампу L_2 , которая одновременно может использоваться для рабочего освещения лаборатории красным светом. При напряжении электросети 127 в необходима лампа на мощность 40, а при 220 в — на 60—70 вт.

При просмотре кадров или наведении на резкость лампа L_2 может быть включена на длительное время установкой переключателя P в положение 2.

Реле P применено типа РКН (ток срабатывания 15 ма).

ЛАБОРАТОРНОЕ РЕЛЕ ВРЕМЕНИ

Данное реле времени обладает высокой стабильностью и имеет диапазон выдержек от 0,1 до 100 сек через каждые 0,1 сек. Его принципиальная схема приведена на рис. 21.

В исходном состоянии лампа L_1 открыта и напряжение на ее управляющей сетке, образующееся на катодном со-

противления, примерно равно -2 в. Якорь реле P_1 , включенного в анодную цепь этой лампы, притянут и его контакты 1 и 2 разомкнуты.

Для приведения схемы в действие необходимо предварительно на короткое время нажать кнопку K . При этом конденсатор C_1 через сопротивление R_5 зарядится до напряжения 150 в. Так как постоянная времени заряда невелика, заряд конденсатора C_1 происходит практически

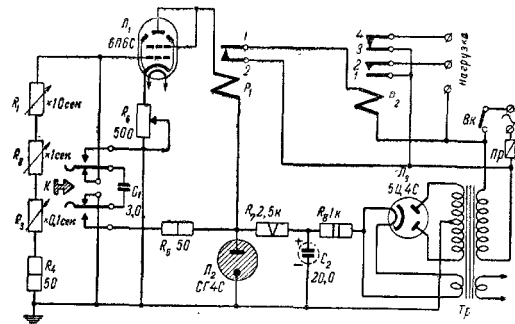


Рис. 21. Схема лабораторного реле времени.

мгновенно. Лампа L_1 в это время проводит и якорь реле P_1 притянут.

Отсчет времени начинается при отпускании кнопки K . В этом случае напряжение на конденсаторе C_1 оказывается приложенным между сеткой лампы L_1 и «землей» (минусом на сетке) и лампа запирается. Реле P_1 обесточивается и своими контактами 1 и 2 включает в электросеть обмотку более мощного реле переменного тока P_2 , которое включает (контакты 1 и 2) или выключает (контакты 3 и 4) цепь нагрузки.

Время выдержки определяется временем разряда конденсатора C_1 через три секции сопротивлений (R_1 , R_2 и R_3). Каждая секция состоит из девяти последовательно включенных одинаковых сопротивлений. Для секции, определяющей десятки секунд выдержки, каждое сопротивление равно 1 Мом, для единиц секунд $-0,1 \text{ Мом}$ и для

десятых долей секунды $-0,01 \text{ Мом}$. Общая выдержка равна сумме показаний на шкалах этих секций.

Когда напряжение на сетке уменьшится до -5 в. реле P_1 сработает и его контакты 1 и 2 отключат реле P_2 от электросети и это реле включит или отключит цепь нагрузки.

Питание реле времени осуществляется от двухполупериодного выпрямителя с кенотроном L_3 . Напряжение на выходе выпрямителя стабилизируется стабилизатором L_4 .

Переменное сопротивление R_6 в цепи катода лампы L_1 служит для точной установки выдержки при налаживании устройства, а также при смене лампы L_1 .

Реле P_1 взято типа РСМ-2, а реле переменного тока P_2 — типа МКУ-48. Контакты реле МКУ-48 рассчитаны на длительное пропускание тока до 5 а (допускаемая разрывная мощность до 500 ва в цепи переменного тока). Силовой трансформатор Tr применен типа ЭЛС-2. Сопротивления секций R_1-R_3 следует подбирать с высокой точностью (не хуже $\pm 2\%$).

РЕЛЕ ВРЕМЕНИ С УНИВЕРСАЛЬНЫМ ПИТАНИЕМ

Данное реле времени обладает повышенной стабильностью, что достигается особым включением цепи RC (см. рис. 8).

Принципиальная схема реле времени приведена на рис. 22. В нем используется лампа с высокоомной нитью накала, питание которой производится через добавочное сопротивление R_{16} . Для питания анодных цепей служит селеновый выпрямитель B .

В положении 1 переключателя Π_1 конденсатор C_1 заряжен до величины анодного напряжения или части его (в зависимости от положения движка потенциометра R_{11}). Напряжение на управляющей сетке лампы L равно -10 в. , так как катод подключен к точке, имеющей потенциал $+10 \text{ в.}$ Величина этого напряжения выбирается такой, чтобы ток через лампу был достаточен для срабатывания реле.

Выдержка начинается переводом переключателя Π_1 в положение 2. При этом отрицательная обкладка конденсатора C_1 оказывается подключенной к управляющей сетке лампы, а положительная обкладка подключается к точке a , имеющей потенциал $+40 \text{ в.}$ Напряжение на сетке лампы в этом случае складывается из напряжения на конденсаторе C_1 , плюс напряжения на сопротивлении R_3 и

напряжения на сопротивлении R_{14} . Лампа L_1 при этом вкрьта (анодный ток равен нулю). Конденсатор C_1 разряжается через сопротивления $R_4—R_{10}$ (в зависимости от величины выдержки). Срабатывание реле P произойдет при напряжении на сетке -10 в. Конденсатор же C_1 разрядится до напряжения -40 в.

Скачкообразное изменение выдержки производится переключателем $П_2$. Выдержка при этом равна 10, 20, 30, 40, 50 или 60 сек. Плавное изменение выдержки в пределах 1—10 сек осуществляется переменным сопротивлением R_5 .

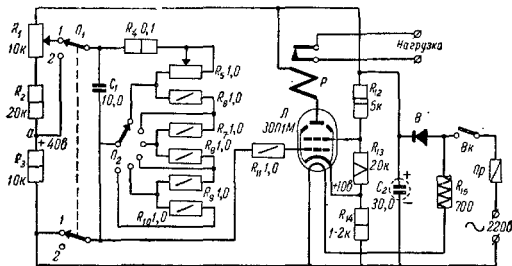


Рис. 22. Схема реле времени с универсальным питанием.

Таким образом, выдержка может быть установлена в пределах от 1 до 60 сек через 1 сек.

Потенциометром R_1 можно изменять величину зарядного напряжения или конденсатора C_1 , а следовательно, и величину выдержки. Положение движка потенциометра подбирается при регулировке.

Реле P применено на ток срабатывания 20 ма с сопротивлением обмотки 2—5 ком. Селеновый выпрямитель B состоит из 20 шайб диаметром 18 мм.

АВТОМАТИЧЕСКИЙ ФОТОЭКСПОНОМЕТР

Особенностью описываемого реле времени является то, что время выдержки автоматически регулируется в зависимости от интегральной освещенности площадки, на которую проектируется изображение. То что время выдержки определяется интегральной освещенностью площадки, несколько ограничивает область применения установки.

Целесообразнее всего ее применять там, где предполагается фотопечать с однопосильных негативов, например при изготовлении фотокопий чертежей или страниц книг и журналов. Поскольку контрастность любительских фото-негативов не очень велика, при помощи данного автомата можно получить достаточно хорошие любительские художественные фотографии.

При желании установку можно использовать как обычное реле времени, установив переключатель $П_2$ в положение

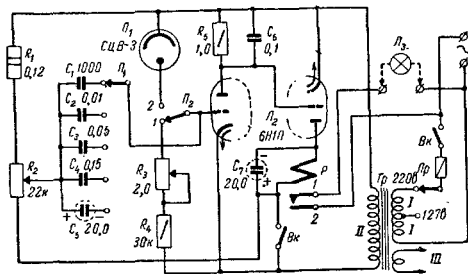


Рис. 23. Схема автоматического фотоэкспонетра.

ие 1 (рис. 23). В этом случае установка работает следующим образом. Когда контакты выключателя $Bк$ разомкнуты, лампа увеличителя L_2 не горит, так как ток через обмотку реле P не проходит и его контакты 1 и 2 разомкнуты. При этом катод левого (по схеме) триода лампы L_2 оказывается подключенным к одному концу повышающей обмотки II силового трансформатора $Тр$, а сетка этого триода через один из конденсаторов $C_1—C_5$ к другому концу обмотки II . Благодаря выпрямляющему действию участка сетка — катод триода конденсатор заряжается до амплитудного значения напряжения на обмотке II .

Если теперь замкнуть выключатель $Bк$, то напряжение на конденсаторе ($C_1—C_5$) будет приложено между сеткой и катодом левого триода лампы L_2 и закроет его. Поэтому падение напряжения на сопротивлении R_5 , т. е. смещение на сетку правого триода лампы L_2 , равно нулю и анодный ток этого триода вызовет срабатывание реле P , которое своими контактами 1 и 2 включит лампу увеличителя.

нажатия кнопки K некритично, поскольку контакты 1 и 2 разрывают цепь кнопки.

Потенциал катода правого триода лампы L_1 начнет возрастать по линейному закону, и когда он возрастет до потенциала зажигания тиратрона, последний становится проводящим и реле P срабатывает, выключая нагрузку. Для включения нагрузки помимо реле времени переключатель Π_2 переводится в положение 2.

Реле времени имеет два диапазона выдержек: 0,5—35 и 2,5—175 сек. Градуировка производится только на первом диапазоне. При работе на втором деления шкалы умножаются на 5, поскольку шкалы совпадают. Выдержка мало зависит от параметров лампы L_1 , и поэтому градуировка сохраняется при смене ламп.

ШИРОКОДИАПАЗОННОЕ РЕЛЕ ВРЕМЕНИ

Это устройство было разработано для автоматического отсчета времени при фотопечати и при проявлении фотопленок. В первом случае интервал выдержек равен 1—100 сек, во втором максимальная выдержка получается до 18 мин.

Схема реле времени изображена на рис. 25. При разомкнутом выключателе BK через лампу L_2 и участок сетка—катод верхнего триода лампы L_1 происходит заряд конденсатора C_2 . Реле P при этом обесточено, так как анодная цепь триода разорвана.

Выдержка начинается замыканием выключателя BK . Лампа L_2 зажигается, а конденсатор C_2 начинает разряжаться. Разряд этого конденсатора осуществляется через лампу с обратной связью по току (см. рис. 10,б). Поэтому величина выдержки равняется $50 RC_2$. Регулировка интервала времени производится переменным сопротивлением R .

Когда конденсатор C_2 разрядится, анодный ток верхнего триода лампы L_1 резко возрастет до величины, при которой реле P сработает, и его контакты 1 и 2 разомкнут цепь лампы L_2 .

При проявлении фотопленок выключатель BK замыкается одновременно с началом проявления. После окончания выдержки контакт 2 реле касается контакта 3 и включает питание звонка $Zв$.

Реле применено с током срабатывания 12 ма и сопротивлением обмотки около 5000 ом. Для лампы L_1 обяза-

тельно применение паялки с высокой изоляцией (например, фарфоровой). Конденсаторы C_1 и C_2 также должны обладать высокой изоляцией.

ТИРАТРОННОЕ РЕЛЕ ВРЕМЕНИ

Из схем реле времени на тиратронах наиболее часто применяется рассматриваемая здесь схема (рис. 26).

При разомкнутом ключе K на конденсаторе C_1 будет накапливаться заряд указанной на схеме полярности. Выпрямление осуществляется участком сетка—катод тиратрона (поскольку сетка и катод оказываются присоединенными к разным проводам питающей сети).

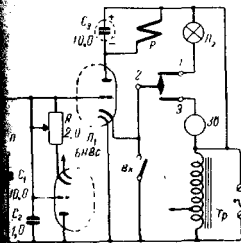


Рис. 25. Схема широкодиапазонного реле времени.

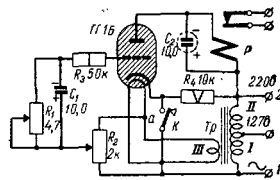


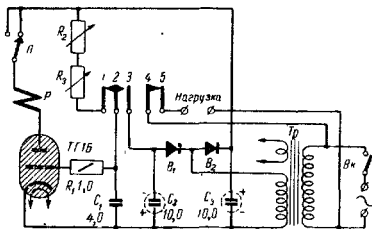
Рис. 26. Схема тиратронного реле времени на переменном токе.

При замыкании ключа K к тиратрону оказывается приложенным полное напряжение сети. Но тиратрон не проводит, так как он закрыт по сетке отрицательным напряжением на конденсаторе C_1 .

Время выдержки определяется постоянной цепи R_1C_1 и положением движка потенциометра R_2 . Мгновенное значение напряжения между сеткой и катодом тиратрона равно сумме напряжений на конденсаторе C_1 и между движком и нижним (по схеме) выводом потенциометра R_2 . Концы обмотки накального трансформатора Tr включены так, что когда потенциал зажима 2 положителен по отношению к зажиму 1, потенциал точки 4 отрицателен. Поэтому при положительных полупериодах электросети напряжение, снимаемое с потенциометра R_2 , увеличивает «минус» на сетке тиратрона. Величина выдержки зависит от регулировки потенциометра. Максимальная выдержка получается при верхнем положении его движка.

Реле P взято телефонного типа на ток срабатывания 10—12 мА и сопротивлением обмотки 1—2 ком. Накальный трансформатор Tr собран на сердечнике из пластин типа Ш-20 при толщине пакета 20 мм. Обмотка I состоит из 1900 витков провода ПЭЛ 0,21, обмотка II — из 1400 витков ПЭЛ 0,18 и обмотка III — из 95 витков ПЭЛ 1,0.

После включения питания и прогрева нити накала тиратрон загорается, поскольку его сетка оказывается



подключенной терез R_1C_1 и разрядные сопротивления R_2 и R_3 к положительному полюсу выпрямителя (+200 в). Реле P срабатывает, контакт $2'$ замыкается с контактом 3 и конденсатор C_1 заряжается до напряжения —200 в. На сетке тиристора напряжения тоже равно —200 в, но тиристор будет гореть, поскольку сетка теряет свои управляющие свойства. В таком состоянии схема готова к работе.

Питание реле времени осуществляется от двух однополупериодных селеновых выпрямителей. Селеновые столбики B_1 и B_2 содержат по 20 шайб диаметром 35 мм. Реле можно применить любого типа.

ПРИЛОЖЕНИЕ
Электрические данные электромагнитных реле
Реле типа КДРТ

Обмотка			Рабочее напряжение, в	Рабочий ток мА, при напряжениях, в					
Сопротивление, ом	Число витков	Диаметр провода, мм		6	12	24	48	110	220
31	2600	0,35	6	193	386	772	—	—	—
48	3200	0,31	6,12	125	250	500	1000	—	—
72	4000	0,29	12	—	167	333	666	—	—
120	5150	0,25	12	—	100	200	400	—	—
280	7500	0,2	12,24	—	43	86	171	393	—
435	9500	0,18	24	—	—	55	110	253	—
650	11400	0,16	24	—	—	37	74	170	—
2000	20000	0,12	48	—	—	—	24	55	110
4000	26000	0,1	48; 110	—	—	—	12	27,5	55
9000	40000	0,08	110	—	—	—	—	12,2	24,5
17000	57000	0,07	220	—	—	—	—	—	12,9

Реле типа РП-4

Номер по каталогу	Обмотка						Ток срабатывания, мА
	Номер обмотки	Сопротивление, ом	Число витков	Марка провода	Диаметр провода, мм	Начало	Конец
V.172.20.27/Э	I	140	1250	ПЭЛ	0,09	1	2
	II	140	1250	ПЭЛШО	0,09	3	4
	III	140	1250	ПЭЛ	0,09	6	5
	IV	140	1250	ПЭЛШО	0,09	8	7
	V	28	300	ПЭЛШО	0,12	9	10
	VI	28	300	ПЭЛШО	0,12	11	12
	VII	2250	5000	ПЭЛ	0,06	12	13
V.172.20.28/Э	I	8500	22000	ПЭЛ	0,05	1	2
	II	8500	22000	ПЭЛ	0,05	3	4

Номер по каталогу	Обмотка						Ток срабатывания, мА
	Номер обмотки	Сопротивление, ом	Число витков	Марка провода	Диаметр провода, мм	Начало	Конец
V.172.20.29/Э	I	4,5	500	ПЭЛ	0,27	1	2
	II	300	5000	ПЭЛ	0,14	3	4
V.172.20.30/Э	I	290	2500	ПЭЛШО	0,09	1	2
	II	290	2500	ПЭЛШО	0,09	3	4
V.172.20.31/Э	I	6000	17000	ПЭЛ	0,05	1	2
	II	6000	17000	ПЭЛ	0,05	3	4

Реле типа МКУ-48

Обмотка			Рабочее напряжение, в	Напряжение срабатывания, в	Рабочий ток, мА	Ток срабатывания, мА
Сопротивление, ом	Число витков	Диаметр провода, мм				
220	3780	0,18	24	19	115	80
1200	7000	0,12	48	39	40	32
2400	10000	0,12	48	39	20	16
4400	15000	0,08	48	39	11	8
1600	7500	0,12	60	45	40	32
1600	6500	0,12	60	45	41	30
4600	15500	0,08	110	88	26	15
4400	15000	0,08	220	145	26	16
4600	15500	0,08	200	165	22	16,5
480	5200	0,14	110	90	46	8
700	6000	0,13	110	90	32	55
900	7000	0,12	110	88	25	42
1600	9000	0,1	110	88	14	25
700	6500	0,13	147	104	36	62
2100	11000	0,1	220	150	20	36
3800	13000	0,08	220	182	14	22

Первые (сверху) девять реле рассчитаны на питание постоянным, а последние семь — переменным током.

СОДЕРЖАНИЕ

Введение	3
Реле времени с газоразрядными приборами	5
Принцип действия реле времени	5
Стабильность работы	8
Выбор R и C	10
Выбор газоразрядного прибора и электромагнитного реле	12
Расчет реле времени на газоразрядных приборах	12
Реле времени с электронными лампами и тиратронами	15
Устройство ламповых реле времени	15
Стабильность работы	17
Реле времени на тиратронах	20
Повышение стабильности	20
Расчет ламповых реле времени	23
Практические конструкции реле времени	26
Простое реле времени	26
Реле времени для зарядки аккумуляторов	27
Высокостабильное реле времени	28
Реле времени с двумя электромагнитными реле	30
Реле времени для звуковой сигнализации	31
Реле времени на тиратроне с холодным катодом	32
Реле времени для включения освещения	33
Одноламповое реле времени	34
Лабораторное реле времени	35
Реле времени с универсальным питанием	37
Автоматический фотоэкспозиометр	38
Высокостабильное реле времени	40
Широкодиапазонное реле времени	42
Тиратронное реле времени	43
Высокостабильное реле времени с тиратроном	44
<i>Приложение. Электрические данные электромагнитных реле . .</i>	<i>46</i>